

Б.18

ИНСТИТУТ ЯДЕРНОЙ ФИЗИКИ СИБИРСКОГО ОТДЕЛЕНИЯ АН СССР

препринт

В.Н.Байер, В.А.Хозе

**излучение при двухчастичной
аннигиляции электрон-позитронной пары**

НОВОСИБИРСК 1965

то подразумевая чточат-офф из подставки корону

В предыдущей работе Южданко-Чудаковским простой способ вычисления интерференционного сечения излучения фотона с произвольной энергией при аннигиляции электрон-позитронной пары в пару других частиц. Идея способа состоит в интегрировании отдельных частей диаграмм с использованием квадратных решеток, чтобы избежать ошибок в зеркальной симметрии. С помощью этого способа было получено изотропное сечение излучения фотона при разложении пары ядер в зеркально-симметрическом способе.

С помощью способа, предложенного ранее авторами, вычислено интегральное сечение излучения фотона при аннигиляции электрон-позитронной пары в пару скалярных частиц. Проведен анализ сечения излучения фотона при аннигиляции электрон-позитронной пары в пару любых частиц с учетом формфакторов. При этом сечение излучения электронами вычислено точно, а в сечении излучения конечными частицами вычислены два первых члена разложения по степеням ω/E , причем для вычисления второго члена разложения использован метод Лоу. Во всех рассмотренных сечениях интерференционный член обращается в нуль.

При вычислении сечения излучения фотона при разложении пары ядер в зеркально-симметрическом способе было вычислено сечение излучения фотона при разложении пары ядер в пару любых частиц, начиная от формфакторов (3 членов). Для учета влияния только четырехформфакторов на сечение излучения необходимо знать величины четырехформфакторов и для фотонов, и для ядер (это макротяжелые), для этого можно воспользоваться функционально-графической методикой либо использовать диаграммы Янга, либо, наоборот, разложить амплитуду четырехформфакторов по членам ω/E . Об упомянутых формфакторах для четырехформфакторов ничего не известно, к примеру, в рамках дисперсионного метода, имеются весьма сложные спектральные выражения и они неизвестны. В то же время довольно много информации можно получить с помощью диаграмм для сечения излучения фотона конечными частицами по формуле (1). Оказывается, что квадрат членов разложения имеет следующий вид (см. формулу (1) в статье), причем само разложение приведено на примере излучения при разложении пары ядер (5 ч. статьи). Аналогично это может быть проделано для излучения при разложении четырехформфакторов пары ядер.

PHOTON EMISSION IN TWO PARTICLE ANNIHILATION OF
ELECTRON-POSITRON PAIR

Abstract

Using a method, recently proposed by authors, the photon emission cross-section in electron-positron annihilation into pair of scalar particles is calculated. An analysis of photon emission cross-section in electron-positron annihilation into arbitrary pair of particles is made, taking into account form-factors. In this case cross-section of photon emission by electrons is calculated exactly and in cross-section of final particle emission two initial terms of expansion in powers of $\frac{\omega}{E}$ is found; in calculation of second term Low method is used. In all these cross-sections the interference term is vanished.

§ I. ВВЕДЕНИЕ

В предыдущей работе [1] авторы предложили простой способ вычисления интегрального сечения излучения фотона с произвольной энергией при аннигиляции электрон-позитронной пары в пару других частиц. Идея способа состоит в интегрировании отдельных частей диаграмм с широким использованием свойств релятивистской, калибровочной и зарядовой инвариантности. С помощью этого способа было вычислено интегральное сечение излучения фотона при рождении пары пионов в электрон-позитронном столкновении.

В данной работе вычисляются сечения излучения фотона в ряде аннигиляционных процессов. Рассмотрен процесс излучения при образовании пары скалярных частиц при аннигиляции электрон-позитронной пары (§ 2 статьи). Для учета влияния сильных взаимодействий на процесс излучения начальными частицами достаточно просто ввести формфакторы конечных частиц. При этом, если по спинам конечных частиц проводится суммирование, то вследствие релятивистской, зарядовой и калибровочной инвариантностей оказывается возможным [2] записать универсальную формулу для интегрального сечения излучения начальными частицами, в которую входят две функции, зависящие от формфакторов (§ 3 статьи). Для учета влияния сильных взаимодействий на процесс излучения конечными частицами необходимо знать вклады диаграмм комптоновского типа (две линии конечных частиц и две фотонных, из которых одна виртуальная). Для этого можно ввести либо феноменологические формфакторы четырехвостки либо использовать динамические модели, либо, наконец, разложить амплитуду четырехвостки по степеням $\frac{\omega}{E}$. Об указанных формфакторах для четырехвостки в настоящее время ничего не известно, а рассмотрение, например в рамках дисперсионного подхода, является весьма сложной самостоятельной задачей и ниже не проводится. В то же время довольно много информации можно получить с помощью разложения амплитуды излучения фотона конечными частицами по степеням $\frac{\omega}{E}$. Оказывается, что нулевой член разложения дается приближением классических токов, для которого мы можем также выписать универсальную формулу. Для получения следующего члена разложения использовался метод Лоу [3], причем само разложение проделано на примере излучения при рождении пары пионов (§ 4 статьи). Аналогично оно может быть проделано и для излучения при рождении любых других пар частиц.

§ 2. Сечение излучения при рождении
пары скалярных частиц

Процесс излучения фотона при рождении пары скалярных частиц в электрон-позитронном столкновении представляется 5 диаграммами (рис. I).

Матричный элемент процесса имеет вид:^{x)}

$$M = A \left[\frac{1}{\Delta^2} \bar{\sigma}(P_2^+) L_v^\nu u(P_4) P_\nu + \frac{1}{\Delta^2} \bar{\sigma}(P_2^+) \gamma^\nu u(P_4) S_\nu' \right] \quad (2.1)$$

где

$$A = \frac{ie^3}{(2\pi)^{3/2}} \frac{m}{\sqrt{8E_1 E_2 E_3 E_4}}, \quad (2.2)$$

$$P = P_4 - P_3^+, \quad \Delta = P_4 + P_3^+, \quad \Lambda = P_1 + P_2^+$$

$$S_\nu' = \left(\frac{eP_4}{2'} + \frac{eP_3}{2} \right) P_\nu + \left(\frac{eP_4}{2'} - \frac{eP_3}{2} \right) K_\nu - 2e\nu \quad (2.3)$$

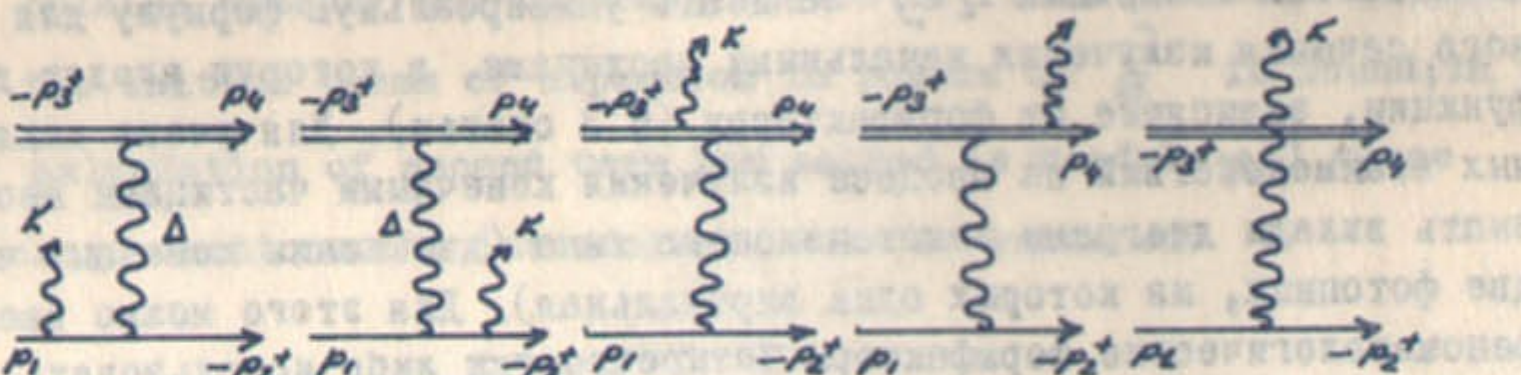


рис. 1

После усреднения по спинам электронов и суммирования по поляризациям фотонов получаем:

$$\bar{S}_i S_f |M|^2 = \frac{|A|^2}{4} \left[\frac{1}{\Delta^4} \frac{M_e^{vv}}{m^2} P_\nu P_\nu + \frac{1}{\Delta^4} \frac{J_e^{vv'}}{m^2} T_{vv'} + \frac{2}{\Delta^2 m^2} \frac{K_i}{m^2} \bar{P}_v S_{v'} \right] \quad (2.4)$$

Здесь и ниже мы используем те же обозначения, что и в статье [1].

Здесь

$$T_{vv'} = - \sum_{\text{пол. фом.}} S_\nu S_{v'}' = 4g_{vv'} + \tilde{g}^2 P_\nu P_\nu + \tilde{g}^2 K_\nu K_\nu +$$

$$+ (\tilde{g} \tilde{g}) (P_\nu K_{v'}, P_{v'} K_\nu) - 2 (\tilde{g}_v P_{v'} + \tilde{g}_{v'} P_v + \tilde{g}_v K_{v'} + \tilde{g}_{v'} K_v) \quad (2.5)$$

$$\tilde{g}_v = \frac{P_{4v}}{2'} + \frac{P_{3v}^+}{2}, \quad \tilde{g}_{v'} = \frac{P_{4v'}}{2'} - \frac{P_{3v'}^+}{2} \quad (2.6)$$

Сечение исследуемого процесса как прежде удобно записать

в виде:

$$d\sigma = d\sigma_e + d\sigma_s + d\sigma_{es} \quad (2.7)$$

$d\sigma_e$ - вклад, в котором фотон излучается начальными частицами,

$d\sigma_s$ - вклад, в котором фотон излучается конечными частицами,

$d\sigma_{es}$ - интерференционный член.

Рассмотрим сечение

$$d\sigma_e = \frac{\omega^3}{(2\pi)^3 F_1} \int \frac{d^3 k}{\omega} M_e^{vv'} V_{vv'} \quad (2.8)$$

где

$$V_{vv'} = \frac{1}{4\Delta^4} \int \frac{d^3 p_3}{E_3} \frac{d^3 p_4}{E_4} P_\nu P_{v'} \delta(\Delta - P_3^+ - P_4) = -\frac{\pi}{64\Delta^2} \left(\frac{\Delta^2 - 4\mu^2}{\Delta e} \right)^{3/2} \left[g_{vv'} - \frac{\Delta_v \Delta_{v'}}{\Delta^2} \right] \quad (2.9)$$

Вследствие градиентной инвариантности $M_e^{vv'}$ вклад в (2.8) даёт только свёртка с тензором $g_{vv'}$. Выполняя эту свёртку и проводя тривиальное интегрирование по азимутальному углу вылета фотона, получаем дифференциальное сечение по углу между направлениями начального электрона и фотона в Ц-системе начальных частиц

$$\frac{d^2 \sigma_e(E, \omega, \vartheta_\kappa)}{d(\cos \vartheta_\kappa) d\omega} = \frac{\omega^5 \omega}{24 E^2 \beta \Delta^2} \left(\frac{\Delta^2 - 4\mu^2}{\Delta e} \right)^{3/2} Z \quad (2.10)$$

$$Z = m^2 (\Delta^2 + 2m^2) \left(\frac{1}{u^2} + \frac{1}{u'^2} \right) + 2m^2 \left(\frac{1}{u} - \frac{1}{u'} \right) +$$

$$+ 2 \left(\frac{u}{u'} + \frac{u'}{u} \right) + \frac{4}{uu'} [E^2 \Delta^2 + m^2 (E\omega - m^2)] \quad (2.11)$$

Проинтегрировав по углу ϑ_k , получаем:

$$d\sigma_e = \frac{\alpha^3}{6E^4\beta} \frac{d\omega}{\omega} \frac{1}{\Delta^2} \left(\frac{\Delta^2 - 4\mu^2}{\Delta^2} \right)^{3/2} Y \quad (2.12)$$

$$Y = (L - L')(\Delta^2 + 2\omega^2) + m^2 \left[L \left(\frac{2\omega}{E} - \frac{m^2}{E^2} \right) - 2 \right] \quad (2.13)$$

Здесь

$$L = \frac{1}{\beta} \ln \frac{\varepsilon + \beta}{1 - \beta}, \quad \beta = \frac{\sqrt{E^2 - m^2}}{E} \quad (2.14)$$

Приступим теперь к вычислению сечения $d\sigma_s$

$$d\sigma_s = \frac{\alpha^3}{4(2\pi)^2 F_1} \int \frac{d^3 k}{\omega \Lambda^4} T_{vv'} W_{vv'} \quad (2.15)$$

где

$$W_{vv'} = \int \frac{d^3 p_3}{E_3} \frac{d^3 p_4}{E_4} T_{vv'} \delta(\Lambda - p_3^+ - p_4^- - k) \quad (2.16)$$

Если учесть, что тензор $T_{vv'}$ удовлетворяет условию:

$$\Lambda^v T_{vv'} = \Lambda^{v'} T_{vv'} = 0 \quad (2.17)$$

то общее выражение для $W_{vv'}$ может быть представлено в виде:

$$W_{vv'} = h_1 g_{vv'} + \frac{1}{(\kappa \Lambda)^2} (h_2 + \Lambda^2 h_2) K_v K_{v'} + h_2 \Lambda_v \Lambda_{v'} - \frac{(h_2 + \Lambda^2 h_2)}{(\kappa \Lambda)} (K_v \Lambda_{v'} + K_{v'} \Lambda_v) \quad (2.18)$$

Для вычисления функций h_1, h_2 достаточно свернуть тензор $W_{vv'}$ с тензорами $g^{vv'}, K^{vv'}$ и вычислить интегралы, получающиеся из (2.16): Это проще всего сделать в Ц-системе двух конечных частиц. В Ц-системе начальных частиц имеем:

$$2h_2 - \Lambda^2 h_2 = \frac{4\pi}{E^2 \omega^2} \sqrt{\frac{\Delta^2 - 4\mu^2}{\Delta^2}} \left\{ (\Delta^2 - \mu^2) / \left[(\Delta^2 - 2\mu^2) L_\epsilon - \Delta^2 \right] + 4E^2 \omega^2 \right\} \quad (2.19)$$

$$h_2 = \frac{\pi}{E^2 \omega^2} \sqrt{\frac{\Delta^2 - 4\mu^2}{\Delta^2}} \left[3\Delta^2 - L_\epsilon (\Delta^2 + 2\mu^2) \right]$$

где

$$L_\epsilon = \frac{1}{\beta_0} \ln \frac{\varepsilon + \beta_0}{1 - \beta_0}, \quad \beta_0 = \sqrt{\frac{\Delta^2 - 4\mu^2}{\Delta^2}} \quad (2.20)$$

6.

Подставляя полученные величины в формулу (2.15) легко получить дифференциальное сечение по углу между направлениями начального электрона и фотона для вклада скалярных частиц.

$$\frac{d^2 \sigma_s(E, \omega, \vartheta_k)}{d(\cos \vartheta_k) d\omega} = - \frac{\alpha^3 \omega}{64\pi E^4 \beta} \left[h_2 \left(\frac{1}{\Delta^2} + \frac{m^2}{2E^2} \right) + \frac{m^2}{2E^2 \omega^2} (h_2 + \Lambda^2 h_2) \right] \quad (2.21)$$

Интегрируя (2.21) по углу вылета фотона получаем:

$$d\sigma_s = \frac{\alpha^3}{24E^4 \beta} \frac{d\omega}{\omega} \sqrt{\frac{\Delta^2 - 4\mu^2}{\Delta^2}} \left[\left(\frac{1}{\Delta^2} + \frac{m^2}{2E^2} \right) \left[\left((\Delta^2 - 2\mu^2) L_\epsilon - \Delta^2 \right) / \left(\Delta^2 - \frac{m^2}{E^2} \right) + 4\omega^2 \right] \right] \quad (2.22)$$

При вычислении вклада интерференционного члена возникает интеграл:

$$O_{vv'} = \int \frac{d^3 p_3}{E_3} \frac{d^3 p_4}{E_4} \delta(\Lambda - p_3^+ - p_4^- - k) S'_v P_{v'} \quad (2.23)$$

При замене $p_3^+ \leftrightarrow p_4^-$ подинтегральное выражение меняет знак, так что

$$O_{vv'} = 0 \quad (2.24)$$

Видно, что вклад интерференционного члена в случае рождения пары скалярных частиц, как и в случае рождения пары мюонов $\sqrt{17}$, обращается в нуль. Таким образом суммарное дифференциальное сечение есть

$$\frac{d^2 \sigma}{d(\cos \vartheta_k) d\omega} = \frac{d^2 \sigma_e}{d(\cos \vartheta_k) d\omega} + \frac{d^2 \sigma_s}{d(\cos \vartheta_k) d\omega} \quad (2.25)$$

и даётся формулами (2.12) и (2.21)

Суммарное интегральное сечение есть

$$d\sigma = d\sigma_e + d\sigma_s \quad (2.26)$$

и даётся формулами (2.12) и (2.22).

Существует еще простой способ получения формулы (2.22), при котором интегрирование проводится сразу по всем импульсам конечных частиц (при фиксированном "ω"). Этот способ приведён в приложении I.

Полученное выражение для (2.26) является точным. Рассмотрим теперь поведение сечений в разных предельных случаях.

Вблизи порога $\frac{\mu^2}{E^2} \sim 1$, $\frac{\omega}{E} \ll 1$ тогда, разлагая до членов первого порядка по $\frac{\omega}{E}$ получаем:

$$d\sigma_e^{th} = \frac{\alpha^3}{3E^2} \frac{d\omega}{\omega} \beta_0^3 \left[C_1 \left(\frac{eE}{m} \right) - \frac{1}{2} \right] \quad (2.27)$$

$$d\sigma_\gamma^{th} = \frac{2\alpha^3}{3E^2} \frac{d\omega}{\omega} \beta_0^3 \left(1 - \frac{\mu^2}{E^2} \right) \left(1 - \frac{\omega}{E} \right) \quad (2.28)$$

вблизи порога $\beta_0 \ll 1$, видно, что сечение излучения тяжёлыми частицами вблизи порога имеет дополнительную малость пропорциональную квадрату скорости этих частиц, как и должно быть, поскольку излучение тяжёлых частиц вблизи порога является дипольным.

Вдали от порога $\frac{\mu^2}{E^2} \ll 1$, тогда с точностью до членов первого порядка по $\frac{\mu^2}{E^2}$, $\frac{\omega}{E}$ имеем:

$$d\sigma_e = \frac{\alpha^3}{3E^2} \frac{d\omega}{\omega} \left[1 - \frac{3\mu^2}{2E^2} \right] \left[C_1 \left(\frac{eE}{m} \right) - \frac{1}{2} \right] \quad (2.29)$$

$$d\sigma_\gamma = \frac{\alpha^3}{3E^2} \frac{d\omega}{\omega} \left(1 - \frac{3\mu^2}{2E^2} \right) \left(1 - \frac{\omega}{E} \right) \left(C_1 \left(\frac{eE}{m} \right) - \frac{1}{2} \right) \quad (2.30)$$

Как мы видим, вблизи порога вклад излучения тяжёлой частицей очень мал. По мере роста энергии начальных частиц над порогом рождения вклад излучения тяжёлыми частицами растет, причём при $E \sim 2\mu$, $d\sigma_\gamma \sim 0.1 d\sigma_e$. Эта ситуация аналогична той, которая возникает при рождении пары мюонов [1].

Что касается жесткой части фотонного спектра, то при $\omega \rightarrow \omega_{max}$ $d\sigma_e \sim (\sqrt{\omega_{max}} - \omega)^3$, $d\sigma_\gamma \sim \sqrt{\omega_{max}} - \omega$

§ 3. Сечение излучения при рождении пары произвольных частиц

Метод, предложенный в [1], может быть использован для вычисления сечения любого процесса, в котором электрон-позитронная пара превращается в пару частица-античастица и фотон.

Ясно, что вклады диаграмм, на которых излучают начальные электроны, могут быть вычислены таким же способом, как в [1] (см.

также § 2 этой работы). Для описания вершины рождающихся частиц введём матричный элемент тока перехода $\langle P_4, P_3^+ | J_\mu | 0 \rangle$. Можно показать [2], что из требований релятивистской и зарядовой инвариантности и закона сохранения тока следует, что для частиц с произвольным спином сумма по поляризациям конечных частиц может быть записана в виде:

$$X_{\mu\nu} = \sum_{\text{пол.}} \langle P_4, P_3^+ | J_\mu | 0 \rangle \langle P_4, P_3^+ | J_\nu | 0 \rangle^* = \\ = \frac{1}{4E_3 E_4} \left[4 \mathcal{D}_1(\Delta^2) \left(\frac{\Delta_\mu \Delta_\nu}{\Delta^2} - g_{\mu\nu} \right) - 2 \mathcal{D}_2(\Delta^2) R_\mu R_\nu \right] \quad (3.1)$$

где \mathcal{D}_1 , \mathcal{D}_2 являются функциями формфакторов конечных частиц. Так, например, для пиона

$$\mathcal{D}_1 = 0, \quad \mathcal{D}_2 = - \frac{F(\Delta^2)/2}{2} \quad (3.2)$$

для нуклонов

$$\mathcal{D}_1 = \frac{\Delta^2}{2} / F_1 + g F_2 / e, \quad \mathcal{D}_2 = F_1 / 2 - \frac{\Delta^2 g^2}{4\mu^2} / F_2 / 2 \quad (3.3)$$

Здесь $F(\Delta^2)$, $F_1(\Delta^2)$, $F_2(\Delta^2)$ соответственно электромагнитные формфакторы пиона и нуклонов во временнеподобной области передач импульсов. Соответствующие выражения для векторов приведены в [2].

Если мы опять (ср.(2.7)) представим сечение в виде:

$$d\sigma = d\sigma_e + d\sigma_\gamma + d\sigma_{ef} \quad (3.4)$$

то для вычисления $d\sigma_e$ достаточно в формулу (2.9) вместо произведения $P_\nu P_{\nu'}$ подставить $4E_3 E_4 X_{\nu\nu'}$ (формула (3.1)), причём полученный интеграл мы обозначим $U_{\nu\nu'}$. Тогда в формулу (2.8) вместо $V_{\nu\nu'}$ надо подставить $U_{\nu\nu'}$, равное:

$$U_{\nu\nu'} = \frac{1}{\Delta^4} \int d^3 p_3 d^3 p_4 X_{\nu\nu'} \delta(\Delta - P_3^+ - P_4) = \\ = - \frac{2F}{\Delta^4} \sqrt{\frac{\Delta^2 - 4\mu^2}{\Delta^2}} \left[\mathcal{D}_1 - \frac{\mathcal{D}_2}{6} (\Delta^2 - 4\mu^2) / (g_{\nu\nu'} - \frac{\Delta_\nu \Delta_{\nu'}}{\Delta^2}) \right] \quad (3.5)$$

Проводя после этого вычисление интеграла (2.8), получаем дифференциальное сечение по углу вылета фотона ϑ_k :

$$\frac{d^2\sigma_e}{d(\cos\vartheta_e)d\omega} = \frac{\omega^3\omega}{2E^2\beta} \frac{1}{\Delta^4} \left[\mathcal{D}_1 - \frac{\mathcal{D}_2(\Delta^2 - 4\mu^2)}{6} \right] \sqrt{\frac{\Delta^2 - 4\mu^2}{\Delta^2}} Z \quad (3.6)$$

где Z даётся формулой (2.11), а интегральное сечение имеет вид

$$d\sigma_e = \frac{2\omega^3}{\beta E^2} \frac{1}{\Delta^4} \sqrt{\frac{\Delta^2 - 4\mu^2}{\Delta^2}} \left[\mathcal{D}_1 - \frac{\mathcal{D}_2(\Delta^2 - 4\mu^2)}{6} \right] Y \frac{d\omega}{\omega} \quad (3.7)$$

где Y даётся формулой (2.13).

При вычислении вклада излучения родившимися частицами мы также должны учесть их структуру. При этом нужно вычислить вклад диаграмм комптоновского типа. В результате мы получим выражение, содержащее некоторое (зависящее от спина) число функций инвариантных кинематических параметров. Если родившиеся частицы пионы, то таких функций 3, если рождаются нуклоны, то их уже 12 и т.д. В настоящее время об этих функциях ничего не известно. Поэтому через эти функции можно выразить только дифференциальное сечение и этим подходом нельзя пользоваться при вычислении интегральных сечений.

С другой стороны мы можем воспользоваться разложением указанных амплитуд по степеням ω/E . Этим разложением можно вообще пользоваться в довольно широкой области над порогом, поскольку в этой области из-за скачка масс $\frac{\omega}{E} \ll 1$. Тогда интегральное сечение процесса может быть представлено в виде (см. например [3])

$$d\sigma_f = \sigma_{f0} \frac{d\omega}{\omega} + \sigma_{f1} d\omega + \sigma_{f2} \omega d\omega + \dots \quad (3.8)$$

При этом легко видеть, что член σ_{f0} в случае аннигиляционных процессов точно даётся приближением классических токов. Действительно, по определению классические токи содержат все члены, не имеющие ω в числителе, с другой стороны, в аннигиляционных процессах при интегрировании по углам вылета конечных частиц не возникает дополнительных степеней ω (в отличие от случая излучения при рассеянии, где пределы интегрирования по углам зависят от ω , так $\Delta_{min}^2 = (\frac{\omega m^2}{E^2})^2$ и точное выражение для σ_0 не может быть получено из выражения с классическими токами (см., например, [4]).

По определению для излучения одного фотона

$$d\sigma_{el} = \sigma_{el} \frac{1}{4\pi^2} \int \omega d\omega d\Omega_k \left[\frac{P_1}{(P_1 k)} - \frac{P_2^+}{(P_2^+ k)} + \frac{P_3^+}{(P_3^+ k)} - \frac{P_4^+}{(P_4^+ k)} \right]^2 \quad (3.9)$$

Выполняя интегрирование по углам вылета фотона и конечных частиц, получаем

$$d\sigma_{el}(E, \omega) = \sigma_{el} \frac{d\omega}{\omega} = \frac{\omega^3}{E^4 \beta} \sqrt{\frac{E^2 \mu^2}{E^2} / \left(\frac{1}{2} + \frac{m^2}{2E^2} \right) / \left(\mathcal{D}_1^0 - \frac{2}{3} (E^2 \mu^2) \mathcal{D}_2^0 \right)} \times \left[\frac{2E^2 \mu^2 \mathcal{D}_1^0}{4E^2} - \frac{1}{2} \right] \frac{d\omega}{\omega} \quad (3.10)$$

В этой формуле определенные раньше функции \mathcal{D}_1 и \mathcal{D}_2 (см. (2.20)) и (3.2-3) взяты в точке $\omega=0$ (тогда $\Delta^2=4E^2$).

Следует еще заметить, что интерференционный член $d\sigma_{ef}$ (3.4) обращается в 0, также как во всех предыдущих случаях, если амплитуду излучения электронами брать в точном виде, а амплитуду излучения конечными частицами в приближении классических токов.

§ 4. Исследование излучения конечными частицами с помощью метода Лоу

Существует общий метод вычисления первых двух членов разложения (3.8) с учетом сильного взаимодействия во всех порядках [3]. Мы рассмотрим вычисление сечения σ_{f0} на примере излучения при рождении пары пионов.

Матричный элемент для излучения фотона конечными частицами может быть получен прямо из второго члена формулы (2.1), куда вместо σ_{f0} мы подставим величину $T_{\nu\mu} e_\mu$. Последнюю мы разобьём на две части:

$$T_{\nu\mu} = T_{\nu\mu}^A + T_{\nu\mu}^B \quad (4.1)$$

По определению $T_{\nu\mu}^A$ состоит из суммы вклада всех диаграмм, на которых вершина с излучением реального фотона связана с остальной частью диаграммы одиночной пионной линией (рис.2), $T_{\nu\mu}^B$ – вклад остальных диаграмм. Заметим, что при $\omega \rightarrow 0$ расходится только величина $T_{\nu\mu}^A$, что же касается величины $T_{\nu\mu}^B$, то она остаётся конечной [3].

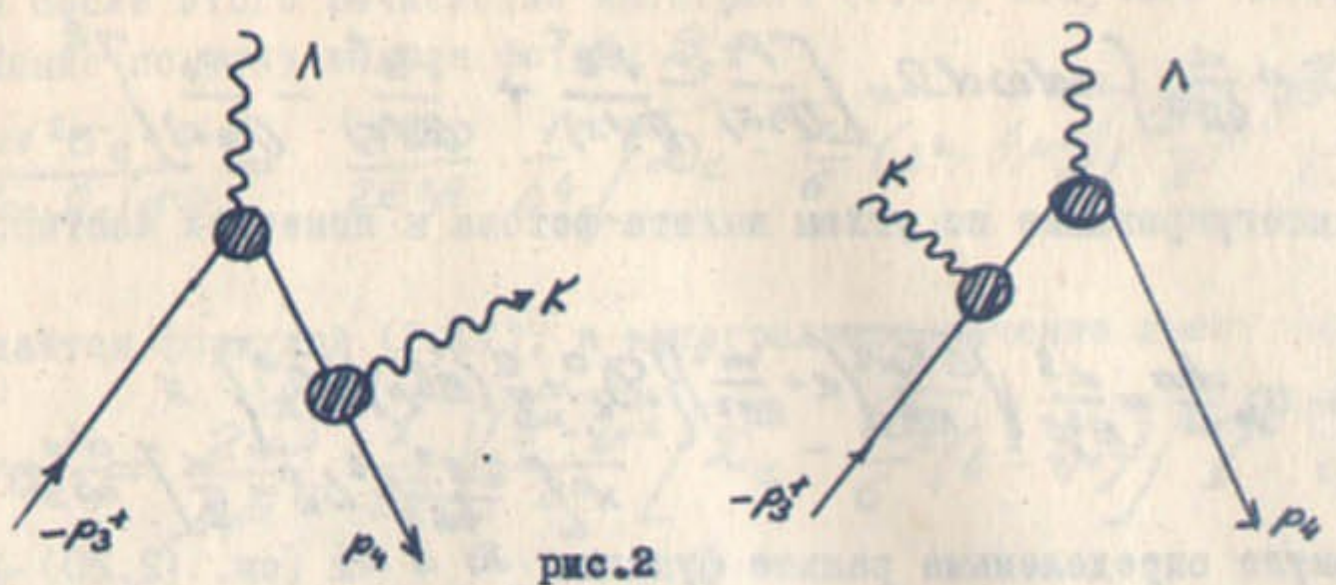


рис.2

Для $T_{\nu\mu}^A$ имеем следующее выражение:

$$T_{\nu\mu}^A = \Gamma_\nu(\lambda^2, p_3^{+2}, (p_4 + \kappa)^2) \Delta(p_4 + \kappa) \Gamma_\mu(0, (p_4 + \kappa)^2, p_4^2) + \\ + \Gamma_\nu(0, p_3^{+2}, (p_3 + \kappa)^2) \Delta(p_3 + \kappa) \Gamma_\nu(\lambda^2, (p_3 + \kappa)^2, p_4^2) \quad (4.2)$$

где Δ и Γ_ν - точные перенормированные функции распространения и электромагнитный вершинный оператор пиона.

Поскольку нас интересует излучение мягких фотонов, то мы будем разлагать величины в (4.2) по степеням " ω " и оставлять только первые два члена.

Воспользовавшись обобщенным тождеством Уорда, легко показать [3], что

$$T_{\nu\mu}^A = [\Gamma_\nu(\lambda^2, p_3^{+2}, (p_4 + \kappa)^2) \frac{P_{4\mu}}{(kp_4)} - \Gamma_\nu(\lambda^2, (p_3 + \kappa)^2, p_4^2) \frac{P_{3\mu}}{(\beta^2)}] \quad (4.3)$$

Оператор Γ_ν , очевидно, может быть представлен в виде:

$$\begin{aligned} \Gamma_\nu(\lambda^2, p_3^{+2}, (p_4 + \kappa)^2) &= (p_3^\mu + p_4 + \kappa)_\nu \varphi_e + (p_4 + \kappa - p_3^\mu)_\nu \varphi_e \\ \Gamma_\nu(\lambda^2, (p_3 + \kappa)^2, p_4^2) &= (p_3^\mu + p_4 + \kappa)_\nu \widetilde{\varphi}_e + (p_4 - \kappa - p_3^\mu)_\nu \widetilde{\varphi}_e \end{aligned} \quad (4.4)$$

где $\varphi_e, \widetilde{\varphi}_e$ - скалярные функции тех же аргументов. При этом из требования калибровочной инвариантности

$$\Lambda_\nu \Gamma^\nu(\lambda^2, p_3^{+2}, p_4^2) = 0 \quad (4.5)$$

имеем:

$$\varphi_e(\lambda^2, p_3^{+2}, p_4^2) = \widetilde{\varphi}_e(\lambda^2, p_3^{+2}, p_4^2) = 0 \quad (4.6)$$

Разлагая функции $\varphi_e, \widetilde{\varphi}_e$ по степеням " κ " и учитывая, что

$$\varphi_e(\lambda^2, p_3^{+2}, p_4^2) = \widetilde{\varphi}_e(\lambda^2, p_3^{+2}, p_4^2) = F(\lambda^2) \quad (4.7)$$

есть электромагнитный формфактор пиона, получаем для $T_{\nu\mu}^A$ (4.3):

$$T_{\nu\mu}^A = \left[(\rho_4 + \kappa - p_3^\mu) \frac{P_{4\mu}}{(kp_4)} - (\rho_4 - p_3^\mu - \kappa) \frac{P_{3\mu}}{(kp_3)} \right] F(\lambda^2) + 2(p_4 + p_3^\mu)_\nu [P_{4\mu}(F)_3 - P_{3\mu}(F)_2] \quad (4.8)$$

$$+ 2P_{4\mu}(P_4 - P_3^\mu)_\nu (F)_3 - 2P_{3\mu}(P_4 - P_3^\mu)_\nu (F)_2$$

Здесь $(F)_3$ и $(F)_2$ есть производные формфактора F по соответствующему аргументу, взятые при $\kappa = 0$. Кроме того, должен выполняться закон сохранения тока:

$$\kappa^\mu T_{\nu\mu} = \kappa^\mu T_{\nu\mu}^A + \kappa^\mu T_{\nu\mu}^B = 0 \quad (4.9)$$

Стсюда, учитывая, что $T_{\nu\mu}^B$ не содержит инфракрасных расходимостей, получаем:

$$T_{\nu\mu}^B = -2g_{\mu\nu}F(\lambda^2) - 2(p_4 + p_3^\mu)_\nu [P_{4\mu}(\varphi_e)_3 - P_{3\mu}(\widetilde{\varphi}_e)_2] \quad (4.10)$$

$$- 2P_{4\mu}(P_4 - P_3^\mu)_\nu (F)_3 + 2P_{3\mu}(P_4 - P_3^\mu)_\nu (F)_2$$

Следовательно, полное выражение для $T_{\nu\mu}$ (оставлены только два первых члена разложения) есть

$$T_{\nu\mu} = \left[(\rho_4 + \kappa - p_3^\mu)_\nu \frac{P_{4\mu}}{(kp_4)} - (\rho_4 - p_3^\mu - \kappa)_\nu \frac{P_{3\mu}}{(kp_3)} - 2g_{\mu\nu} \right] F(\lambda^2) \quad (4.11)$$

Видно, что производные по массам сократились, что имеет место во всех случаях [4,5]. Полученное выражение представляет матричный элемент излучения точечной частицей, умноженный на формфактор. Это соответствует известному утверждению [5-7], что первые два члена разложения амплитуд по частотам фотонов определяются полным зарядом системы и, следо-

вательно, зависят только от формфактора. Ясно, что вычисление интегрального сечения производится так же, как и для точечных частиц. При этом сечение излучения фотона пионами (см. (2.22) с точностью до членов первого порядка по $\frac{\omega}{E}$) и в ультрарелятивистском пределе по электронам имеет вид:

$$d\sigma_\pi = \frac{\alpha^3}{24E^4} \frac{d\omega}{\omega} \sqrt{\frac{\Delta^2 - 4\mu^2}{\Delta^2}} \left(1 - \frac{\mu^2}{E^2} \right) \left[(\Delta^2 - 2\mu^2)L_1 - \Delta^2 \right] F(\Delta^2) \quad (4.12)$$

а сечение излучения фотона электронами

$$d\sigma_e = \frac{\alpha^3}{6E^2} \frac{d\omega}{\omega} \left(\frac{\Delta^2 - 4\mu^2}{\Delta^2} \right)^{1/2} \left(1 - \frac{\mu^2}{E^2} \right) \left[F(\Delta^2) - \frac{\omega}{E} \Delta^2 \frac{dF(\Delta^2)}{d\Delta^2} \right] \quad (4.13)$$

а интерференционный член, как показано в конце § 2, равен нулю. Полное сечение излучения при рождении пары пионов в электрон-позитронной аннигиляции с точностью до членов первого порядка по $\frac{\omega/E}{\Delta^2}$ есть:

$$d\sigma = d\sigma_e + d\sigma_\pi \quad (4.14)$$

Как и следовало ожидать, оно выражается через электромагнитный формфактор пиона и его производную по переданному импульсу. Точно таким же способом может быть получено интегральное сечение излучения в случае рождения протон-антинпротонной пары.

ПРИЛОЖЕНИЕ I

Сечение излучения точечными конечными частицами может быть вычислено с помощью следующего простого приёма. Представим $d\sigma_s$ (2.15) в виде

$$d\sigma_s = \frac{\alpha^3}{4(2\pi)^2/F} J_e^{vv'} R_{vv'} \frac{1}{\Delta^4} \quad (P.1)$$

где

$$R_{vv'} = \frac{d\omega}{\omega} \int \frac{d^3 p_3}{E_3} \frac{d^3 p_4}{E_4} \omega^2 d\Omega_F \delta(\Delta - p_4 - p_3 - k) T_{vv'} \quad (P.2)$$

может зависеть только от 4-вектора, фиксирующего систему отсчёта, в которой выбрана энергия фотона ω . Таким вектором является $\nu\nu' (1, 0, 0, \omega) \frac{1}{\sqrt{\Delta^2}}$.

Учитывая калибровочную инвариантность, имеем:

$$R_{vv'} = \frac{d\omega}{\omega} f \left[g_{vv'} - \frac{\Lambda_v \Lambda_{v'}}{\Delta^2} \right] \quad (P.3)$$

Величина f вычисляется, как обычно, с помощью свёртки с тензором $g^{vv'}$ и равна:

$$f = \frac{16\pi^2}{3} \sqrt{\frac{\Delta^2 - 4\mu^2}{\Delta^2}} E^2 \left[(\Delta^2 - 2\mu^2)L_1 - \Delta^2 \right] \left(1 - \frac{\mu^2}{E^2} \right) + 4\omega^2 \quad (P.4)$$

Подставляя выражение (P.3) в (P.1), получаем формулу (2.22)

Авторы благодарны В.М. Галицкому за многочисленные обсуждения.

Книга подскажет некоторые идеи, а также введение в теорию относительности

(Лейбенштейн, Физика, 1954), а также введение в теорию относительности

(Лейбенштейн, Физика, 1954), а также введение в теорию относительности

x) Заметим, что в широком интервале энергий $d\sigma_\pi \sim 0,1 d\sigma_e$, так что основной вклад даёт сечение $d\sigma_e$, которое мы вычисляем точно. Кроме того, если $d\sigma_s$ (2.22) разложить по степеням $\frac{\omega/E}{\Delta^2}$ и оставить два первых члена разложения, то это обеспечивает весьма высокую точность вплоть до $\frac{\omega/E}{\Delta^2} \sim \frac{1}{2}$, что следует прямым сравнением разложения с точным результатом.

затруднено, равно как также и то, что численные
результаты сличения теории с экспериментом не
всегда получены в полной мере.

Л И Т Е Р А Т У Р А

1. В.Н.Байер, В.А.Хозе ЖЭТФ, 48, вып.3, 1965
2. В.Н.Байер, В.С.Фадин ДАН СССР, 161, 1965
3. F.Low.Phys.Rev.110, 974, 1958.
4. В.Н.Байер, В.М.Галицкий.Phys.Let.13 . 355, 1964
5. С.М.Биленский, Р.И.Рындин. ЖЭТФ 40, 819, 1961
6. F.Low.Phys.Rev.96, 1428, 1954.
7. M.Gell-Mann,M.Goldberger.Phys.Rev.96, 1433, 1954.

(§.II)

$$\frac{d\sigma}{d\Omega} = \frac{1}{2\pi} \int_{-\infty}^{\infty} d\omega \frac{J(\omega)}{\omega - E}$$

(§.II)

Приложимо ли здесь правило о соотношении между
коэффициентом и его производной по передаче энергии. Точно так же ли
может быть получено некоторое сличение с экспериментом?

(§.S) Число молекул, (I.II) и (S.II) означающее вкладов

автора Бародера и Б.И.Раликса) за многие годы обсуждав-

шегося в ряде материалов вопроса об обмене, так
что основной вывод дает сличение того, которое мы численно
получили. Кроме того, если из (2.2) вычесть производную
и оставить два первых члена разложения, то это избавит нас
от необходимости вычислять вспомогательную величину $\frac{1}{2}\int_{-\infty}^{\infty} d\omega \frac{J(\omega)}{\omega - E}$, что сделает вы-
числение гораздо проще.

16.